

DOI:10.13350/j.cjpb.220708

• 论著 •

柔嫩艾美耳球虫 MIC1 与 MIC2 相互作用的鉴定*

程淑琴, 王旭, 张楠, 李建华, 宫鹏涛, 王晓岑, 李新, 张西臣**

(吉林大学动物医学学院人兽共患病研究教育部重点实验室, 吉林长春 130062)

【摘要】 目的 观察柔嫩艾美耳球虫基因微线蛋白 1(EtMIC1)和微线蛋白 2(EtMIC2)之间的相互作用,为研究微线蛋白之间相互影响的分子机制以及该互作在鸡球虫入侵宿主细胞过程中的作用提供参考依据。方法 采用 PCR 方法克隆柔嫩艾美耳球虫 EtMIC1 和 EtMIC2 基因,构建不同的重组表达载体。将构建的酵母双杂交诱饵质粒 pGBKT7-EtMIC1 及捕获质粒 pGADT7-EtMIC2 转化至 Y2HGold 酵母感受态,涂布于对应的营养缺陷培养基进行毒性和自激活活性检测。表达 GST-EtMIC1 和 His-EtMIC2 两种融合蛋白,纯化后通过 GST-Pull down 验证二者在体外的相互作用。将构建的 pcDNA3.1-His-EtMIC1 和 pcDNA3.1-HA-EtMIC2 重组质粒转染 HEK-293T 细胞, RIPA 裂解后取上清进行免疫共沉淀试验,鉴定二者在体内的相互作用。将真核表达载体 pEtMIC1-Myc-LC151 和 pEtMIC2-HA-KN151 共转染 HEK-293T 细胞,激光共聚焦显微镜观察转染后的细胞内发出的红色荧光。结果 pGBKT7-EtMIC1 和 pGADT7-EtMIC2 单转化对酵母细胞无明显毒性作用,且自身无自激活活性,而 pGBKT7-EtMIC1/ pGADT7-EtMIC2 共转化后能够在显色板上长出蓝色菌落,说明二者在细胞内可相互作用;GST-Pull down 试验表明二者可在体外发生相互作用;免疫共沉淀和双分子荧光互补试验验证 EtMIC1 和 EtMIC2 在细胞内相互作用。结论 EtMIC1 和 EtMIC2 在体内、外均能够产生相互作用,为进一步探索微线蛋白之间相互影响的分子机制以及该互作在鸡球虫入侵宿主细胞过程中的作用提供参考依据。

【关键词】 柔嫩艾美耳球虫;微线蛋白 1;微线蛋白 2;相互作用

【中图分类号】 R382.32

【文献标识码】 A

【文章编号】 1673-5234(2022)07-0779-05

[Journal of Pathogen Biology. 2022 Jul.;17(7):779-783,789.]

Identification of interaction between *Eimeria tenella* MIC1 and MIC2

CHENG Shu-qin, WANG Xu, ZHANG Nan, GONG Peng-tao, LI Jian-hua, WANG Xiao-cen, LI Xin, ZHANG Xi-chen (Key Laboratory of Zoonosis Research, Ministry of Education, College of Veterinary Medicine, Jilin University, Changchun 130062, China)***

【Abstract】 **Objective** The molecular mechanism of interaction between *Eimeria tenella* MIC1 (EtMIC1) and MIC2 (EtMIC2) were investigated, thus providing a reference for the invasion of chicken coccidian into host cells. **Methods** The EtMIC1 and EtMIC2 genes were cloned by PCR using the cDNA of *Eimeria tenella* sporozoite as templates. The yeast two-hybrid bait plasmid pGBKT7-EtMIC1 and prey plasmid pGADT7-EtMIC2 were transformed into Y2HGold, cultured on the auxotrophic selection medium for investigating the toxicity and self-activation. For GST-Pull down assay, the GST-EtMIC1 and His-EtMIC2 fusion proteins were expressed and purified. The recombinant plasmids pcDNA3.1-His-EtMIC1 and pcDNA3.1-HA-EtMIC2 were transfected into HEK-293T cells to certify the interaction in vivo with co-immunoprecipitation using the RIPA lysate supernatant. The pEtMIC1-Myc-LC151 and pEtMIC2-HA-KN151 were co-transfected into HEK-293T cells for the observation of red fluorescence by confocal laser scanning microscopy. **Results** EtMIC1 and EtMIC2 were not toxic and self-activating to yeast cells, while the co-transformation of pGBKT7-ETMIC1/PGADT7-ETMIC2 could activate the yeast two-hybrid reporting system, which showed that EtMIC1 and EtMIC2 could interact in vivo. While the GST-Pull down results showed that EtMIC1 and EtMIC2 could interact in vitro. The interaction between EtMIC1 and EtMIC2 in 293T cells was furtherly confirmed by co-immunoprecipitation and bimolecular fluorescence complementation assays. **Conclusion** EtMIC1 and EtMIC2 could interact each other in vitro and in 293T cells, which provided a reference for exploring the molecular mechanism of interaction and the invasion of chicken coccidian into host cells.

【Key words】 *Eimeria tenella*; microneme protein1; microneme protein2; interaction

* **【基金项目】** 吉林省科技发展计划项目(No. 20190301089NY)。

** **【通讯作者】** 张西臣, E-mail: xc Zhang@jlu.edu.cn

【作者简介】 程淑琴(1978-),女,河北保定人,博士研究生,副教授。主要研究方向:兽医寄生虫病学。E-mail: 752635997@qq.com

鸡球虫病是一种由艾美耳属球虫引起以肠道出血、腹泻为主要特征的胞内寄生原虫病,其中柔嫩艾美耳球虫(*Eimeria tenella*)是危害最严重的病原性寄生虫之一^[1-2]。目前球虫病的防治以化学药物和疫苗预防为主要手段,但对于球虫与宿主细胞的关系尤其是入侵宿主细胞的分子机制尚不明确,因此仍无有效办法控制鸡球虫病的发生^[3-4]。球孢子子入侵宿主细胞是感染机体的第一步,有研究表明顶器中微线体、棒状体和致密颗粒等共同参与该入侵过程,且微线体蛋白在其中起关键作用^[5-6]。微线蛋白1(microneme protein1, MIC1)是最早报道的微线蛋白,由712个氨基酸构成,是血小板反应相关蛋白家族成员且具有该家族的保守结构区域,通常在球孢子子和裂殖子无性繁殖阶段表达^[7]。微线蛋白2(microneme protein2, MIC2)是一种微线体分泌的酸性蛋白,在孢子子入侵动物机体后会迅速分泌并覆盖于孢子生殖和裂殖生殖阶段的虫体以及整个宿主细胞表面^[8],由此推测 EtMIC2 蛋白在球虫入侵宿主细胞过程中发挥重要作用。目前对于顶复门原虫 MIC1 与 MIC2 相互作用的研究较少,尚未见关于柔嫩艾美耳球虫 MIC1 和 MIC2 之间存在相互作用的报道。本研究利用 GST-Pull down 技术、免疫共沉淀以及双分子荧光互补等方法验证柔嫩艾美耳球虫 MIC1 与 MIC2 之间的相互作用,为进一步探索微线蛋白之间相互影响的分子机制以及该互作在鸡球虫入侵宿主细胞过程中的作用提供参考依据。

材料与方法

1 材料

1.1 虫株、载体 柔嫩艾美耳球虫孢子化卵囊,

HEK-293T 细胞, pET-32a(+), pGEX-4T-, pcDNA3.1-His, pcDNA3.1-HA, pBJUN-HA-KN151, pbFOS-Myc-LC151, pMyc-LC151 及 pHA-KN151 载体均由吉林大学动物医学学院寄生虫实验室保存。

1.2 主要试剂 限制性内切酶 BamHI、NdeI、SalI、XhoI、XbaI、NheI、PvuI 及 T4DNA 连接酶为日本 Takara 公司产品;鼠源 Anti-GST 抗体、Anti-His 抗体, Anti-HA 抗体及山羊抗鼠 HRP-IgG 抗体为美国 Proteintech 公司产品; Lipofectamine 2000 为美国 Invitrogen 公司产品;蛋白 A 磁珠为美国 Millipore 公司产品;无内毒素质粒 DNA 小量提取试剂盒购于上海生工公司; His 标签蛋白纯化试剂盒和 GST 琼脂糖凝胶购于北京康为世纪公司。

2 方法

2.1 表达载体的构建 根据 GenBank 登录的 EtMIC1(EU093966)和 EtMIC2(AF111839)基因序列,采用 Oligo7 软件设计 8 对特异性引物(表 1),以柔嫩艾美耳球虫 cDNA 为模板克隆 EtMIC1 和 EtMIC2 基因,分别构建 pGBKT7-EtMIC1/pGADT7-EtMIC2、pGEX-4T-EtMIC1/pET-32a-EtMIC2、pcDNA3.1-His-EtMIC1/pcDNA3.1-HA-EtMIC2、pEtMIC1-Myc-LC151/pEtMIC2-HA-KN151 重组质粒,用表 1 中对应的限制性内切酶双酶切鉴定并测序。

2.2 毒性和自激活作用检测 将 pGBKT7-EtMIC1 和 pGADT7-EtMIC2 分别转化 Y2HGold 酵母感受态,并将部分转化液均匀涂布于对应的不同营养缺陷培养基上,观察菌落生长状态。将 pGBKT7-EtMIC1 和 pGADT7-EtMIC2 共转化至 Y2HGold 感受态,分别涂布于 TDO/X 和 QDO/X/A 显色板上,观察菌落生长状态和颜色变化。如果试验组和阳性对照组的酵

表 1 引物信息及 PCR 反应条件(下划线处为酶切位点)

Table 1 List of primer sequences and PCR reaction conditions (underlined the sequence is the restriction site)

| 引物名称 | 引物序列(5'→3') | PCR 反应条件 | 酶切位点 |
|-----------------------|----------------------------------|---|-------------|
| pGBKT7-EtMIC1-F | CATATGGGCGCAACTACCAGCTCT | 95 °C 5 min; 30 cycles; 95 °C 30 s, 63 °C 30 s, 72 °C 150 s, 72 °C 10 min | NdeI/BamHI |
| pGBKT7-EtMIC1-R | GGATCCTGCCACATCTCTGATTGTT | | |
| pGADT7-EtMIC2-F | CATATGATGGTTAGGACGAGAGTCCCAGG | 95 °C 5 min; 30 cycles; 95 °C 30 s, 62 °C 30 s, 72 °C 60 s, 72 °C 10 min | NdeI/BamHI |
| pGADT7-EtMIC2-R | GGATCCTCAGGATGACTGTTGAGTGTCA | | |
| pGEX-4T-EtMIC1-F | GGATCCGGGCGCAACTACCAGCTCT | 95 °C 5 min; 30 cycles; 95 °C 30 s, 60 °C 30 s, 72 °C 150 s, 72 °C 10 min | BamHI/Sal I |
| pGEX-4T-EtMIC1-R | GTCTGACTGCCACATCTCTGATTGTT | | |
| pET-32a-EtMIC2-F | GGATCCGTTAGGACGAGAGTCCCAG | 95 °C 5 min; 30 cycles; 95 °C 30 s, 62 °C 30 s, 72 °C 60 s, 72 °C 10 min | BamHI/XhoI |
| pET-32a-EtMIC2-R | CTCGAGTCAGGATGACTGTTGAGTGTCA | | |
| pcDNA3.1-His-EtMIC1-F | GGATCC ACCATGGGCGCAACTACCAGCTCT | 95 °C 5 min; 30 cycles; 95 °C 30 s, 62 °C 30 s, 72 °C 150 s, 72 °C 10 min | BamHI/XbaI |
| pcDNA3.1-His-EtMIC1-R | TCTAGA GATGCCACATCTCTGATTGTT | | |
| pcDNA3.1-HA-EtMIC2-F | GCTAGCCACCATGGTTAGGACGAGAGTCCCAG | 95 °C 5 min; 30 cycles; 95 °C 30 s, 62 °C 30 s, 72 °C 60 s, 72 °C 10 min | NheI/XhoI |
| pcDNA3.1-HA-EtMIC2-R | CTCGAGCTGTTGAGTGTCACTCTCTGCAGC | | |
| pEtMIC1-Myc-LC151-F | GCTAGCCACCATGGGCGCAACTACCAGCTCT | 95 °C 5 min; 30 cycles; 95 °C 30 s, 62 °C 30 s, 72 °C 150 s, 72 °C 10 min | NheI/PvuI |
| pEtMIC1-Myc-LC151-R | CGATCG ATGCCACATCTCTGATTGTT | | |
| pEtMIC2-HA-KN151-F | GCTAGCCACCATGGTTAGGACGAGAGTCCCAG | 95 °C 5 min; 30 cycles; 95 °C 30 s, 62 °C 30 s, 72 °C 60 s, 72 °C 10 min | NheI/XhoI |
| pEtMIC2-HA-KN151-R | CTCGAGCCCTGTTGAGTGTCACTCTCTGCAGC | | |

母菌落均呈蓝色,而阴性对照组既不生长也不显色,则初步判定二者可产生相互作用。

2.3 GST-Pull down 验证 使用自诱导培养基 ZYM-5052 原核诱导表达 pGEX-4T-EtMIC1 和 pET-32a-EtMIC2 重组蛋白后离心收集菌体沉淀并超声破碎,对上清中的可溶性蛋白 GST-EtMIC1、His-EtMIC2 分别用 GST 琼脂糖凝胶和 His 标签蛋白纯化试剂盒纯化后进行 GST-Pull down 验证。

2.4 免疫共沉淀验证 将稀释的重组质粒和脂质体 2000 转染至 HEK-293T 细胞。收集细胞,用 RIPA 裂解液后取部分上清分别用 Anti-His 和 Anti-HA 抗体 4℃ 孵育过夜,再用预处理的蛋白 A 磁珠和孵育过的鼠源抗体继续 4℃ 孵育,细胞裂解液处理后收集洗脱液进行 Western blot 分析。

2.5 双分子荧光互补验证 将测序正确的真核表达载体 pEtMIC1-Myc-LC151 和 pEtMIC2-HA-KN151 转染至 HEK-293 T 细胞,培养 4~6 h 后更换培养基继续培养 20 h,弃掉培养基,用 PBS 洗涤 2~3 次,4% 多聚甲醛室温固定 10 min,300 μl DAPI 室温避光染色 8 min,最后滴加适量抗荧光衰减封片剂进行封片,用激光共聚焦显微镜观察细胞内出现的红色荧光。

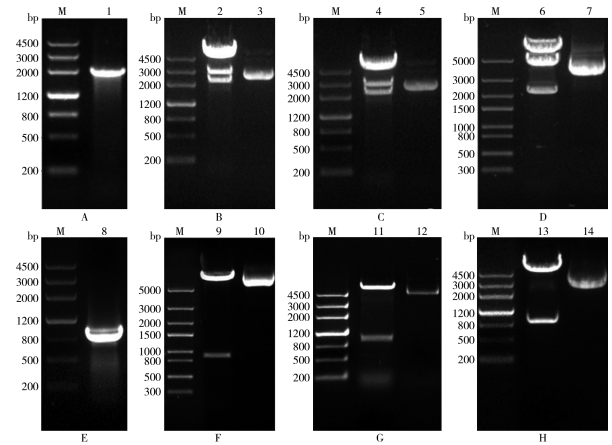
结果

1 重组质粒的构建及鉴定

PCR 扩增产物 EtMIC1 和 EtMIC2 经 10 g/L 琼脂糖凝胶电泳分析,大小分别为 2 025 bp 和 969 bp,与预期相符(图 1A、B)。以上述基因片段构建酵母双杂交重组质粒 pGBKT7-EtMIC1 和 pGADT7-EtMIC2, GST-Pull down 表达载体 pGEX-4T-EtMIC1 和 pET-32a-EtMIC2,免疫共沉淀表达载体 pcDNA3.1-His-EtMIC1 和 pcDNA3.1-HA-EtMIC2,经双酶切和测序鉴定均构建正确(图 1C-H)。

2 毒性和自激活活性

pGBKT7-EtMIC1 和 pGADT7-EtMIC2 单转化组的酵母菌落与 pGBKT7-p53/ pGADT7-T 阳性对照组菌落大小无明显差异,说明 EtMIC1 和 EtMIC2 对酵母细胞无明显毒性作用(图 2A、B)。单转化重组质粒不能在 TDO/X 及 QDO/X/A 平板上生长,证明质粒自身无自激活活性(图 2A、B)。将含有 pGBKT7-EtMIC1 和 pGADT7-EtMIC2 重组质粒的酵母细胞进行 α-半乳糖苷酶试验,结果显示共转化组与阳性对照组菌落显蓝色,而阴性对照组(pGBKT7-lam/ pGADT7-T)无显色现象,初步证实 EtMIC1 与 EtMIC2 在真核细胞中有相互作用(图 2C、D、E)。



A EtMIC1 PCR 产物 B pGBKT7-EtMIC1 双酶切产物 C pGEX-4T-EtMIC1 双酶切产物 D pcDNA3.1-His-EtMIC1 双酶切产物 E EtMIC2 PCR 产物 F pGADT7-EtMIC2 双酶切产物 G pET-32a-EtMIC2 双酶切产物 H pcDNA3.1-HA-EtMIC2 双酶切产物

图 1 重组质粒双酶切鉴定

A EtMIC1 PCR Amplification product B Double enzyme digestion of pGBKT7-EtMIC1 C Double enzyme digestion of pGEX-4T-EtMIC1 D Double enzyme digestion of pcDNA3.1-His-EtMIC1 E EtMIC2 PCR Amplification product F Double enzyme digestion of pGADT7-EtMIC2 G Double enzyme digestion of pET-32a-EtMIC2 H Double enzyme digestion of pcDNA3.1-HA-EtMIC2

Fig. 1 Identification of the recombinant plasmids by double enzymatic digestion

3 GST-Pull down 验证

取 GST-Pull down 洗脱液进行 Western blot,结果如图 3。用 Anti-His 抗体孵育的 GST-EtMIC1/ His-EtMIC2 洗脱液中检测到 His-EtMIC2 融合蛋白, GST 标签蛋白/His-EtMIC2 共孵育液中未检测到 His-EtMIC2 融合蛋白;用 Anti-GST 抗体孵育的 GST-EtMIC1/ His-EtMIC2 洗脱液中检测到 GST-EtMIC1 融合蛋白, GST-pGEX-4T-1/His-EtMIC2 共孵育液中也检测到 GST 标签蛋白(图 3),表明 EtMIC1 与 EtMIC2 在体外发生了相互作用。

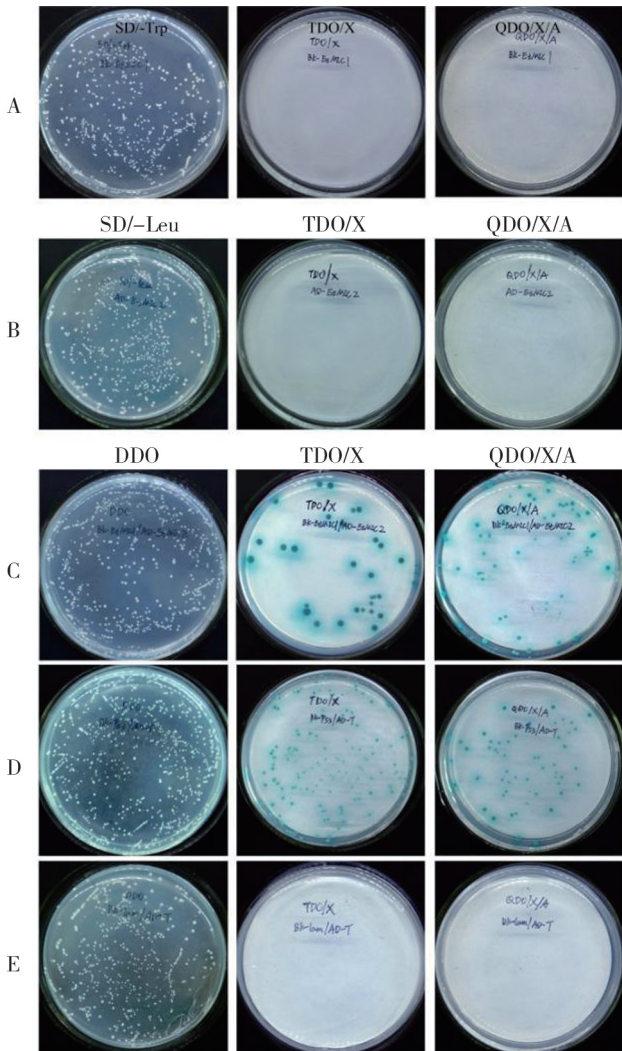
4 免疫共沉淀验证

Western blot 显示 pcDNA3.1-His-EtMIC1/pcDNA3.1-HA-EtMIC2 共转染组与蛋白 A 磁珠、Anti-His 抗体孵育后的复合物中检测到 His-EtMIC1 和 HA-EtMIC2 融合蛋白,大小分别约为 75 ku 和 34 ku。单转染组只检测到 His-EtMIC1,而未检测到 HA-EtMIC2,表明 His-EtMIC1 和 HA-EtMIC2 在真核细胞内产生了相互作用。用 Anti-HA 抗体孵育后也可证明二者在体内存在相互作用(图 4)。

5 双分子荧光互补验证

经激光共聚焦显微镜观察, pEtMIC1-Myc-LC151/pEtMIC2-HA-KN151 共转染组和 pbFOS-Myc-LC151/pbJUN-HA-KN151 阳性对照组 HEK-293T 细胞内均发出明亮的红色荧光,而阴性对照组无

此红色荧光(图5),表明 EtMIC1 与 EtMIC2 在真核细胞中存在相互作用。



A pGBKT7-EtMIC1 单转化组 B pGADT7-EtMIC2 单转化组
C pGBKT7-EtMIC1/pGADT7-EtMIC2 共转化组 D pGBKT7-p53/pGADT7-T 阳性对照组 E pGBKT7-lam/pGADT7-T 阴性对照组

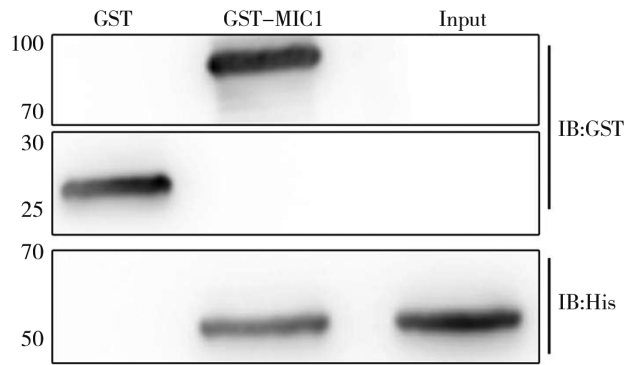
图2 酵母双杂交验证 EtMIC1 与 EtMIC2 的相互作用

A pGBKT7-EtMIC1 single transformation group B pGADT7-EtMIC2 single transformation group C pGBKT7-EtMIC1/pGADT7-EtMIC2 co-transformation group D Positive control; pGBKT7-p53/pGADT7-T co-transformation group E Negative control; pGBKT7-lam/pGADT7-T

Fig. 2 Identification of the interaction of EtMIC1 and EtMIC2 by yeast two-hybridization

讨论

柔嫩艾美耳球虫属于顶复门原虫,在虫体的顶部有一特殊结构顶复合器,其中含有微线体、棒状体、致密颗粒等一系列分泌器官,而最重要的是位于子孢子和裂殖子顶端的微线体,其数量在不同种属寄生虫以及寄生虫的不同发育阶段均不相同^[9]。目前弓形虫、柔嫩艾美耳球虫等虫体的微线体蛋白可通过蛋白质组学、梯度纯化其顶部分泌器官的方法进行鉴定^[10-11]。顶复门原虫通过微线蛋白之间或微线蛋白与棒状体蛋



GST GST 标签蛋白与 His-EtMIC2 共孵育组 GST-EtMIC1
GST-EtMIC1 与 His-EtMIC2 共孵育组 Input His-EtMIC2 蛋白对照组

图3 GST-Pull down 验证 EtMIC1 与 EtMIC2 的相互作用

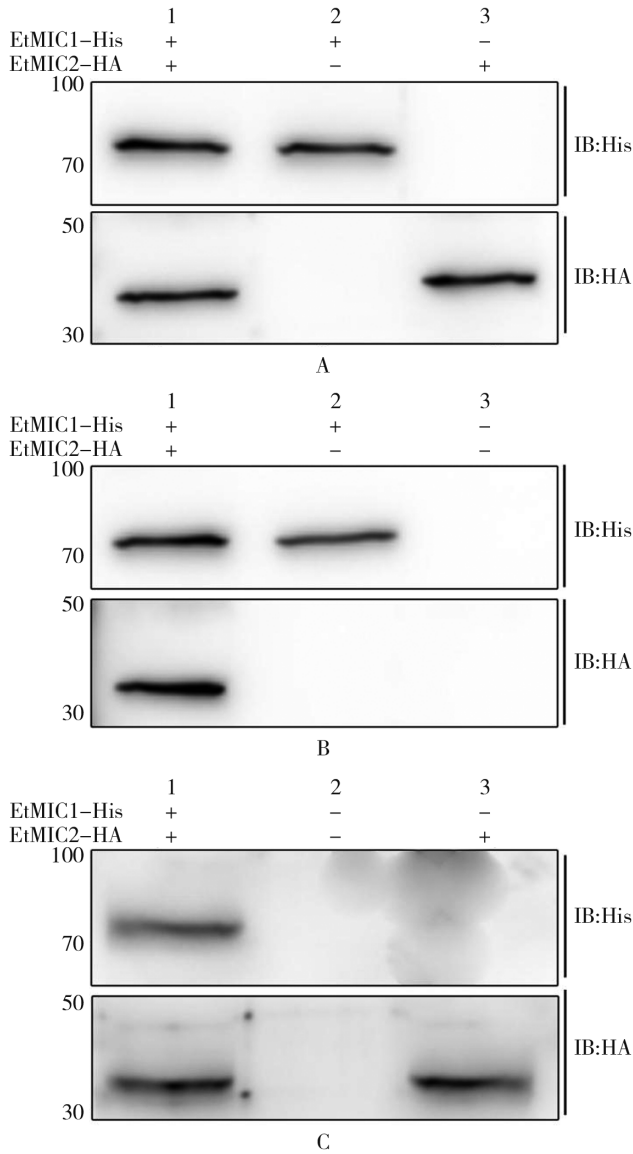
GST Incubation of GST and His-EtMIC2 GST-EtMIC1 Incu-
bation of GST-EtMIC1 and His-EtMIC2 Input His-EtMIC2

Fig. 3 Identification of the interaction of EtMIC1 and EtMIC2 by GST-Pull down

白之间的共同作用引导虫体主动入侵宿主细胞^[12]。目前已有多种方法用于研究蛋白质之间的相互作用,例如酵母双杂交技术、GST-Pull down 试验、免疫共沉淀技术、双分子荧光互补试验等。Scholtyssek 等^[13]利用酵母双杂交技术从柔嫩艾美耳球虫孢子 cDNA 文库中筛选到 EtMIC2 与 EtAMA1 有相互作用。赵娜^[14]构建了柔嫩艾美耳球虫酵母双杂交 cDNA 文库并筛选到与端粒酶逆转录酶(TERT)能够产生相互作用的 14-3-3 蛋白,同时用 GST-Pull down、免疫共沉淀技术进一步证实了两种蛋白的相互作用。本研究利用双分子荧光互补、免疫共沉淀等技术验证柔嫩艾美耳球虫 MIC1 蛋白与 MIC2 蛋白有相互作用。

在酵母双杂交系统中,如果外源蛋白对酵母菌生长有毒性会导致菌落生长缓慢,进而影响结果的正确判定。研究表明有些外源蛋白在酵母细胞中能够单独启动下游报告基因转录,从而产生自激活现象,所以检测外源蛋白对酵母细胞的毒性和自激活活性非常重要^[15]。本研究中 pGBKT7-EtMIC1 和 pGADT7-EtMIC2 在相应营养缺陷培养基生长的酵母菌落大小无明显差异,表明二者对酵母生长不产生明显的毒性作用。 α -半乳糖苷酶试验结果表明 EtMIC1 与 EtMIC2 自身均不具有自激活活性,而 pGBKT7-EtMIC1 和 pGADT7-EtMIC2 共转化的酵母菌在显色板上能够生长出蓝色菌落,说明二者在酵母细胞内产生了相互作用。在进行 GST-Pull down 试验时,为保证融合蛋白的正确折叠和生物学活性,本研究采用自诱导培养基 ZYM-5052 进行 GST-EtMIC1 和 His-EtMIC2 原核蛋白的诱导和表达^[16]。考虑到单独的 GST 标签蛋白与 His-EtMIC2 融合蛋白不能产生相互作用,因此在试验中用 GST 标签蛋白作阴性对照,结果表明 EtMIC1

与 EtMIC2 在体外存在互作。由于 GST-Pull down 试验也可能存在假阳性结果,因此采用免疫共沉淀技术进一步验证 EtMIC1 与 EtMIC2 在体内的相互作用。结果显示,在 Anti-His 抗体沉淀下来的复合物中检测到 HA-EtMIC2,同样在 Anti-HA 抗体沉淀复合物中也检测到 His-EtMIC1,证明了 HA-EtMIC2 和 His-EtMIC1 在真核细胞内发生相互作用。对 EtMIC1 与

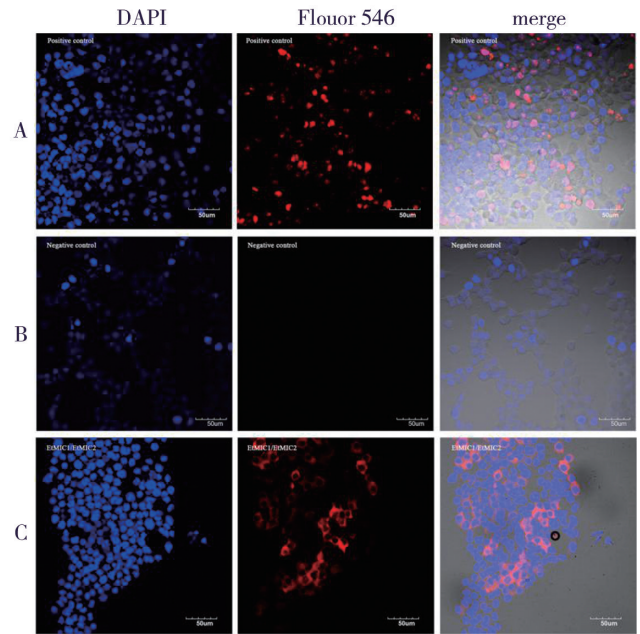


A,B,C 分别为细胞裂解液, Anti-His 免疫沉淀复合物和 Anti-HA 免疫沉淀复合物 1 pcDNA3.1-His-EtMIC1/ pcDNA3.1-HA-EtMIC2 共转染组 2 pcDNA3.1-His-EtMIC1 单转染组 3 pcDNA3.1-HA-EtMIC2 单转染组 IB: His Anti-His 抗体 Western blot IB: HA Anti-HA 抗体 Western blot

图 4 免疫共沉淀验证 EtMIC1 与 EtMIC2 的相互作用

A Cell lysates B Immunoprecipitated complex by Anti-His antibody C Immunoprecipitated complex by Anti-HA antibody 1 pcDNA3.1-His-EtMIC1 and pcDNA3.1-HA-EtMIC2 co-transfection 2 pcDNA3.1-His-EtMIC1 transfection 3 pcDNA3.1-HA-EtMIC2 transfection IB: His Immunoblotting by Anti-His monoclonal antibody IB: HA Immunoblotting by Anti-HA monoclonal antibody

Fig. 4 Identification of the interaction of EtMIC1 and EtMIC2 by Co-immunoprecipitation



A pbFOS-Myc-LC151/pbJUN-HA-KN151 阳性对照组 B 阴性对照组 C pEtMIC1-Myc-LC151/pEtMIC2-HA-KN151 共转染组 DAPI 蓝色荧光通道 Fluor 568 红色荧光通道 Merge 两种荧光与明场叠加效果

图 5 双分子荧光互补验证 EtMIC1 与 EtMIC2 的相互作用

A pbFOS-Myc-LC151/pbJUN-HA-KN151 positive control group B Negative control group C pEtMIC1-Myc-LC151/pEtMIC2-HA-KN151 co-transfection group DAPI Blue fluorescent channel Fluor 568 Red fluorescent channel Merge Fluorescence and natural superposition

Fig. 5 Identification of the interaction of EtMIC1 and EtMIC2 by BiFc

EtMIC2 做双分子荧光试验,激光共聚焦显微镜观察 EtMIC1 和 EtMIC2 转染细胞均发出明显的红色荧光,使二者在细胞内的相互作用更加直观。以上试验结果充分证明 EtMIC1 与 EtMIC2 在体内外均存在互作,因此推测柔嫩艾美尔球虫微线蛋白可借彼此之间的相互作用帮助虫体主动入侵宿主细胞并得以生存,具体侵入机制仍需进一步研究。

【参考文献】

[1] Ritzi MM, Abdelrahman W, Mohnl M, et al. Effects of probiotics and application methods on performance and response of broiler chickens to an *Eimeria* challenge[J]. *Poult Sci*, 2014, 93(11): 2772-2778.

[2] Yin H, Sumners LH, Dalloul RA. Changes in expression of an antimicrobial peptide, digestive enzymes, and nutrient transporters in the intestine of *E. praecox*-infected chickens[J]. *Poult Sci*, 2015, 94(7): 1521-1526.

[3] Yin G, Lin O, Wei W, et al. Protective immunity against *Eimeria tenella* infection in chickens induced by immunization with a recombinant C-terminal derivative of EtIMP1[J]. *Vet Immunol Immunopathol*, 2014, 162(3-4): 117-121.

[4] Du A, Wang S. Efficacy of a DNA vaccine delivered in attenuated *Salmonella typhimurium* against *Eimeria tenella* infection in chickens[J]. *Int J Parasitol*, 2005, 35(7): 777-785.

- al. High-level aminoglycoside resistance and distribution of aminoglycoside resistance genes among *enterococcus* spp. Clinical isolates in tehran,iran[J]. J Glob Antimicrob Resist,2020(20): 318-323.
- [12] Computational Pan-Genomics C. Computational pan-genomics: Status,promises and challenges[J]. Brief Bioinform,2018,19(1):118-135.
- [13] Caputo A,Fournier P-E,Raoult D. Genome and pan-genome analysis to classify emerging bacteria[J]. Biol Direct,2019,14(1):5.
- [14] Galperin MY,Kristensen DM,Makarova KS,et al. Microbial genome analysis:The cog approach[J]. Brief Bioinform,2019,20(4):1063-1070.
- [15] Van Camp PJ,Haslam DB,Porollo A. Bioinformatics approaches to the understanding of molecular mechanisms in antimicrobial resistance[J]. Int J Mol Sci,2020,21(4):1363.
- [16] Allard MW,Bell R,Ferreira CM,et al. Genomics of foodborne pathogens for microbial food safety[J]. Curr Opin Biotechnol,2018(49):224-229.
- [17] Galperin MY,Wolf YI,Makarova KS,et al. Cog database update:Focus on microbial diversity,model organisms, and widespread pathogens[J]. Nucleic Acids Res,2021,49(D1):D274-D281.
- [18] He Q,Hou Q,Wang Y,et al. Comparative genomic analysis of *Enterococcus faecalis*: Insights into their environmental adaptations[J]. BMC Genomics,2018,19(1):527.
- [19] Raven KE,Reuter S,Gouliouris T,et al. Genome-based characterization of hospital-adapted *Enterococcus faecalis* lineages[J]. Nat Microbiol,2016(1):15033.
- [20] Farman M,Yasir M,Al-Hindi RR,et al. Genomic analysis of multidrug-resistant clinical *Enterococcus faecalis* isolates for antimicrobial resistance genes and virulence factors from the western region of saudi arabia[J]. Antimicrob Resist Infect Control,2019(8):55.
- [21] Kim EB,Marco ML. Nonclinical and clinical *enterococcus faecium* strains, but not *Enterococcus faecalis* strains, have distinct structural and functional genomic features[J]. Appl Environ Microbiol,2014,80(1):154-165.
- [22] Guzman Prieto AM,van Schaik W,Rogers MR,et al. Global emergence and dissemination of *enterococci* as nosocomial pathogens:Attack of the clones? [J]. Front Microbiol,2016(7):788.
- [23] O'Driscoll T,Crank CW. Vancomycin-resistant enterococcal infections:Epidemiology,clinical manifestations,and optimal management[J]. Infect Drug Resist,2015(8):217-230.
- [24] Thu WP,Sinwat N,Bitrus AA,et al. Prevalence,antimicrobial resistance,virulence gene,and class 1 integrons of *enterococcus faecium* and *Enterococcus faecalis* from pigs,pork and humans in thai-laos border provinces[J]. J Glob Antimicrob Resist,2019(18):130-138.
- [25] Gok SM,Turk Dagi H,Kara F,et al. [investigation of antibiotic resistance and virulence factors of *enterococcus faecium* and *Enterococcus faecalis* strains isolated from clinical samples][J]. Mikrobiyol Bul,2020,54(1):26-39.
- [26] Das AK,Dudeja M,Kohli S,et al. Biofilm synthesis and other virulence factors in multidrug-resistant uropathogenic *enterococci* isolated in northern india[J]. Indian J Med Microbiol,2020,38(2):200-209.
- [27] Bennett DJ,Sutton MD,Turvey ST. Treeman: An R package for efficient and intuitive manipulation of phylogenetic trees[J]. BMC Res Notes,2017,10(1):30.

【收稿日期】 2022-03-16 【修回日期】 2022-05-08

(上接 783 页)

- [5] Daszak P. Zoite migration during infection; parasite adaptation to host defences[J]. Parasitol Today,1999,15(2):67-72.
- [6] Sasai K,Fetterer RH,Lillehoj H,et al. Characterization of monoclonal antibodies that recognize the *Eimeria tenella* microneme protein MIC2[J]. J Parasitol,2008,94(6):1432-1434.
- [7] Tomley FM,Clarke LE,Kawazoe U,et al. Sequence of the gene encoding an immunodominant microneme protein of *Eimeria tenella*[J]. Mol Biochem Parasitol 1991,49:277-288.
- [8] Tomley FM,Bumstead JM,Billington KJ,et al. Molecular cloning and characterization of a novel acidic microneme protein (Et-mic-2) from the apicomplexan protozoan parasite,*Eimeria tenella*[J]. Mol Biochem Parasitol,1996,79(2):195-206.
- [9] Han H,Xue P,Dong H,et al. Screening and characterization of apical membrane antigen 1 interacting proteins in *Eimeria tenella*[J]. Exp Parasitol,2016(170):116-124.
- [10] Wang Y,Fang R,Yuan Y,et al. Identification of host proteins interacting with the integrin-like A domain of *Toxoplasma gondii* micronemal protein MIC2 by yeast-two-hybrid screening[J]. Parasit Vectors,2014,7:543.
- [11] 肇英池,王晓岑,张楠,等. 活性云母组合物液抗鸡柔嫩艾美耳球虫感染的效果[J]. 中国病原生物学杂志,2021,16(4):438-441.
- [12] Walker DM,Oghumu S,Gupta G,et al. Mechanisms of cellular invasion by intracellular parasites[J]. Cell Mol Life Sci,2014,71(7):1245-1263.
- [13] Scholtyseck E,Mehlhorn H. Ultrastructural study of characteristic organelles (paired organelles, micronemes, micropores) of sporozoa and related organisms[J]. Z Parasitenkd,1970,34(2): 97-127.
- [14] 赵娜. 柔嫩艾美耳球虫端粒酶逆转录酶交互蛋白的筛选及功能研究[D]. 长春:吉林大学,2015.
- [15] 王旭. 柔嫩艾美耳球虫 AMA1 与 RON2 互作的鉴定及其阻断剂的虚拟筛选[D]. 长春:吉林大学,2018.
- [16] 王旭,宫鹏涛,李建华,等. 柔嫩艾美耳球虫顶膜抗原-1 与微线蛋白-2 相互作用的鉴定[J]. 中国病原生物学杂志,2018,13(3): 267-273.

【收稿日期】 2022-04-06 【修回日期】 2022-06-02